

---

# *Lecture 4: Sum Rules for Form Factors*

## *QCD and Local Duality*

A. P. Bakulev

Bogolyubov Lab. Theor. Phys., JINR (Dubna, Russia)

July 9, 2005

# Содержание

---

- Локальная дуальность для формфактора осциллятора.
- Правила сумм КХД: 3-точечный коррелятор векторного и двух аксиальных токов и формфактор пиона.
- Локальная дуальность для формфактора пиона и тождество Уорда.
- Факторизация, пионная амплитуда распределения ( $\pi AP$ ), ее эволюция в пертурбативной КХД
- $\pi AP$  в правилах сумм КХД с нелокальными конденсатами

---

*Local duality  
for form factor  
of 2D oscillator*

# Local duality: oscillator FF

---

- Оказывается, в подходе “локальной дуальности” (ЛД), разработанном в ОИЯИ А. В. Радюшкиным с соавторами, можно рассчитать ФФ при больших  $q$  и без обращения к ПС с двумя состояниями.

# Local duality: oscillator FF

---

- Оказывается, в подходе “локальной дуальности” (ЛД), разработанном в ОИЯИ А. В. Радюшкиным с соавторами, можно рассчитать ФФ при больших  $q$  и без обращения к ПС с двумя состояниями.
- Идея подхода заключается в том, что в пределе  $M \rightarrow \infty$  все степенные поправки обращаются в ноль. Единственный параметр, который помнит о степенных поправках, – это  $s_0$ . Его фиксируют из борелевских ПС (т.е. с конечными  $M$ ) или из эксперимента.

# Local duality: oscillator FF

- Оказывается, в подходе “локальной дуальности” (ЛД), разработанном в ОИЯИ А. В. Радюшкиным с соавторами, можно рассчитать ФФ при больших  $q$  и без обращения к ПС с двумя состояниями.
- Идея подхода заключается в том, что в пределе  $M \rightarrow \infty$  все степенные поправки обращаются в ноль. Единственный параметр, который помнит о степенных поправках, – это  $s_0$ . Его фиксируют из борелевских ПС (т.е. с конечными  $M$ ) или из эксперимента.
- Мы будем фиксировать  $s_0$  из ПС ЛД для  $|\psi_0(0)|^2$ :

$$\{|\psi_0(0)|^2\}_{\text{LD}} = \frac{m s_0^{\text{LD}}}{2\pi} = \frac{m \omega}{\pi} \text{ with } s_0^{\text{LD}} = 2\omega$$

# Local duality: oscillator FF

---

Для  $\Phi\Phi$  получаем

$$\{|\psi_0(0)|^2\}_{\text{LD}} F_{00}^{\text{LD}}(Q^2) = \int_0^{2\omega} \int_0^{2\omega} \rho_0(s_1, s_2, Q^2) ds_1 ds_2.$$

# Local duality: oscillator FF

---

Для  $\Phi\Phi$  получаем

$$\{|\psi_0(0)|^2\}_{\text{LD}} F_{00}^{\text{LD}}(Q^2) = \int_0^{2\omega} \int_0^{2\omega} \rho_0(s_1, s_2, Q^2) ds_1 ds_2.$$

Рассмотрим его значение при  $Q^2 = 0$ : мы знаем, что  $\rho_0(s_1, s_2, 0) = \frac{m}{2\pi} \delta(s_1 - s_2)$ . Поэтому

$$\{|\psi_0(0)|^2\}_{\text{LD}} F_{00}^{\text{LD}}(0) = \{|\psi_0(0)|^2\}_{\text{LD}},$$

и, следовательно,

$$F_{00}^{\text{LD}}(Q^2 = 0) = 1$$



# Local duality: oscillator FF

---

Для  $\Phi\Phi$  получаем

$$\{|\psi_0(0)|^2\}_{\text{LD}} F_{00}^{\text{LD}}(Q^2) = \int_0^{2\omega} \int_0^{2\omega} \rho_0(s_1, s_2, Q^2) ds_1 ds_2.$$

Используем интегральное представление

$$\rho_0(s_1, s_2, Q^2) = \int \frac{d^2k}{(2\pi)^2} \delta\left(s_1 - \frac{k^2}{2m}\right) \delta\left(s_2 - \frac{(k+Q)^2}{2m}\right)$$

# Local duality: oscillator FF

---

Для  $\Phi\Phi$  получаем

$$\{|\psi_0(0)|^2\}_{\text{LD}} F_{00}^{\text{LD}}(Q^2) = \int_0^{2\omega} \int_0^{2\omega} \rho_0(s_1, s_2, Q^2) ds_1 ds_2.$$

Используем интегральное представление

$$\rho_0(s_1, s_2, Q^2) = \int \frac{d^2k}{(2\pi)^2} \delta\left(s_1 - \frac{k^2}{2m}\right) \delta\left(s_2 - \frac{(k+Q)^2}{2m}\right)$$

$$F_{00}^{\text{LD}}(Q^2) = \int \frac{d^2k}{4m\omega\pi} \theta\left(2\omega - \frac{k^2}{2m}\right) \theta\left(2\omega - \frac{(k+Q)^2}{2m}\right).$$

Интеграл берется легко из геометрических соображений.  
Кто скажет как?

# Local duality: oscillator FF

---

$$= \frac{2}{\pi} \left[ \arccos \left( \frac{Q}{4\sqrt{m\omega}} \right) - \frac{Q}{4\sqrt{m\omega}} \sqrt{1 - \frac{Q^2}{16m\omega}} \right] \theta(16m\omega - Q^2)$$

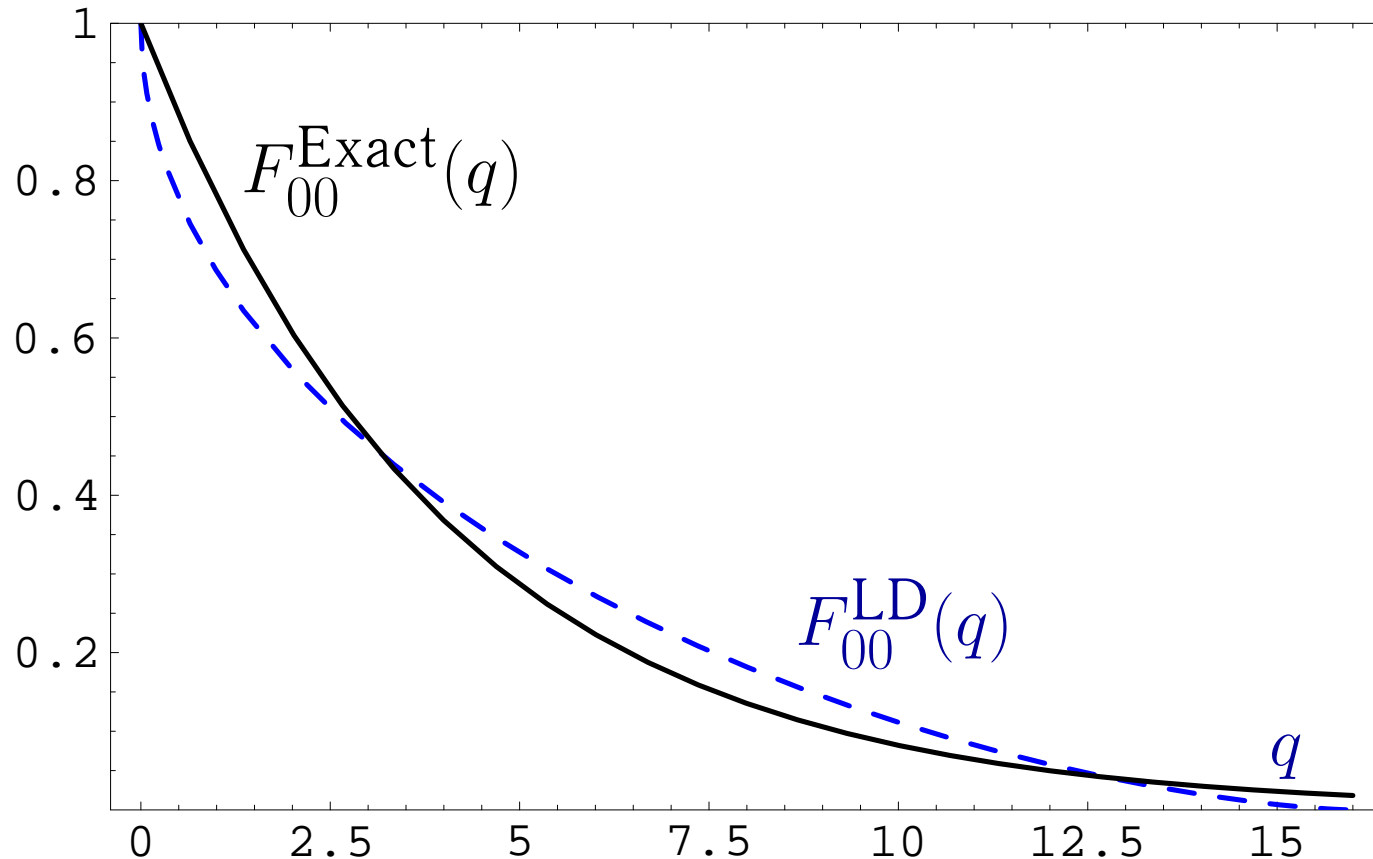
или в безразмерных переменных

$$F_{00}^{\text{LD}}(q) = \frac{2}{\pi} \left[ \arccos \sqrt{\frac{q}{16}} - \sqrt{\frac{q}{16}} \sqrt{1 - \frac{q}{16}} \right] \theta\left(1 - \frac{q}{16}\right).$$

# Local duality: oscillator FF

$$F_{00}^{\text{LD}}(q) = \frac{2}{\pi} \left[ \arccos \sqrt{\frac{q}{16}} - \sqrt{\frac{q}{16}} \sqrt{1 - \frac{q}{16}} \right] \theta \left( 1 - \frac{q}{16} \right).$$

Посмотрим сравнение с точным ФФ:



# Локальная дуальность и физика за ней

---

Подход ЛД основан на очень простом физическом приближении:

$$F_{00}^{\text{LD}}(Q^2) = \frac{1}{|\psi_0(0)|^2} \int \frac{d^2k}{(2\pi)^2} \theta\left(s_0 - \frac{k^2}{2m}\right) \theta\left(s_0 - \frac{(k+Q)^2}{2m}\right).$$

# Локальная дуальность и физика за ней

---

Подход ЛД основан на очень простом физическом приближении:

$$F_{00}^{\text{LD}}(Q^2) = \frac{1}{|\psi_0(0)|^2} \int \frac{d^2k}{(2\pi)^2} \theta\left(s_0 - \frac{k^2}{2m}\right) \theta\left(s_0 - \frac{(k+Q)^2}{2m}\right).$$

Сравним с импульсным представлением точного ФФ

$$F_{00}(Q^2) = \int \frac{d^2k}{(2\pi)^2} \Psi_0(k) \Psi_0^*(k+Q).$$

# Локальная дуальность и физика за ней

---

Подход ЛД основан на очень простом физическом приближении:

$$F_{00}^{\text{LD}}(Q^2) = \frac{1}{|\psi_0(0)|^2} \int \frac{d^2k}{(2\pi)^2} \theta\left(s_0 - \frac{k^2}{2m}\right) \theta\left(s_0 - \frac{(k+Q)^2}{2m}\right).$$

Сравним с импульсным представлением точного ФФ

$$F_{00}(Q^2) = \int \frac{d^2k}{(2\pi)^2} \Psi_0(k) \Psi_0^*(k+Q).$$

**Вывод:** ЛД эквивалентна приближению

$$\Psi_0(k)^{\text{LD}} = \frac{1}{|\psi_0(0)|} \theta\left(s_0 - \frac{k^2}{2m}\right) = \sqrt{\frac{\pi}{m\omega}} \theta(4m\omega - k^2).$$

# Локальная дуальность и физика за ней

---

**Вывод:** ЛД эквивалентна приближению

$$\Psi_0(k)^{\text{LD}} = \sqrt{\frac{\pi}{m\omega}} \theta(4m\omega - k^2)$$

для точных ВФ осциллятор

$$\Psi_0(k) = 2\sqrt{\frac{\pi}{m\omega}} \exp\left(-\frac{k^2}{2m\omega}\right)$$

При этом

$$\int d^2k \Psi_0(k) = \int d^2k \Psi_0^{\text{LD}}(k);$$

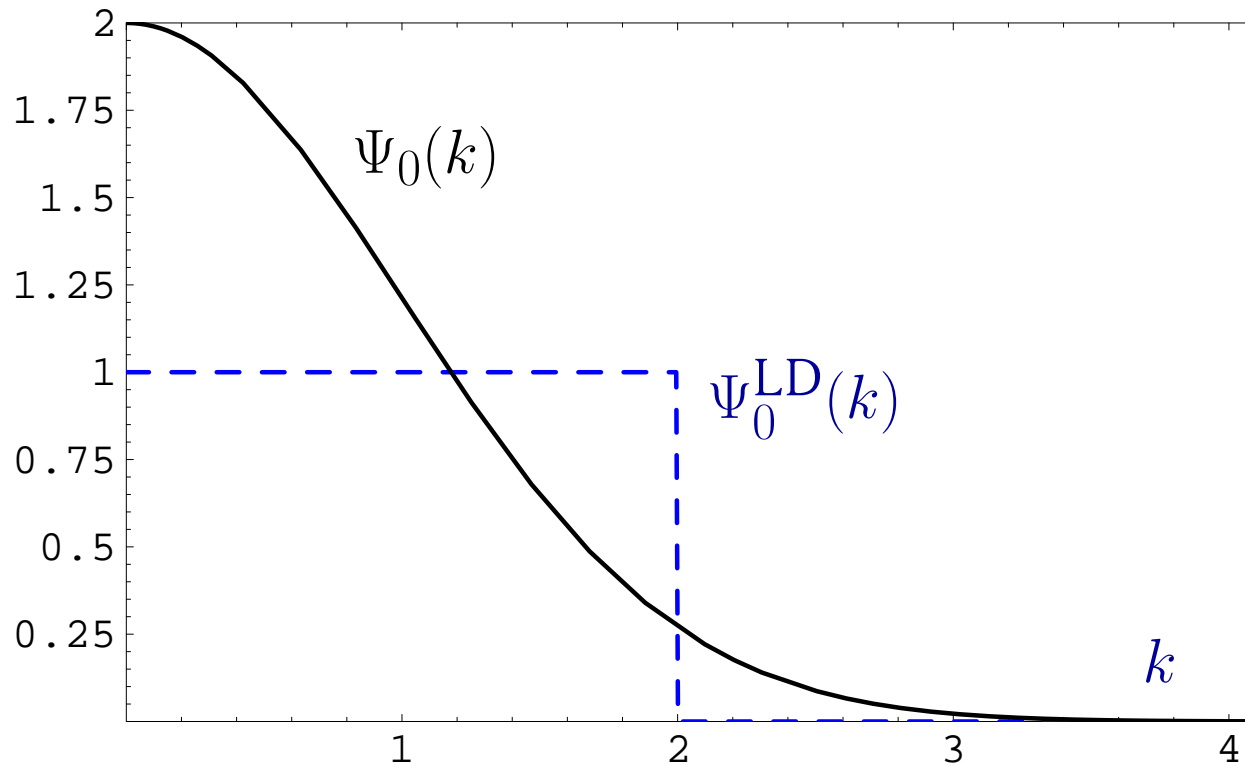
$$\int d^2k k^2 \Psi_0(k) = \int d^2k k^2 \Psi_0^{\text{LD}}(k).$$



# Локальная дуальность и физика за ней

$$\int d^2k \Psi_0(k) = \int d^2k \Psi_0^{\text{LD}}(k); \quad \int d^2k k^2 \Psi_0(k) = \int d^2k k^2 \Psi_0^{\text{LD}}(k).$$

Посмотрим картинку:



**Вопрос:**

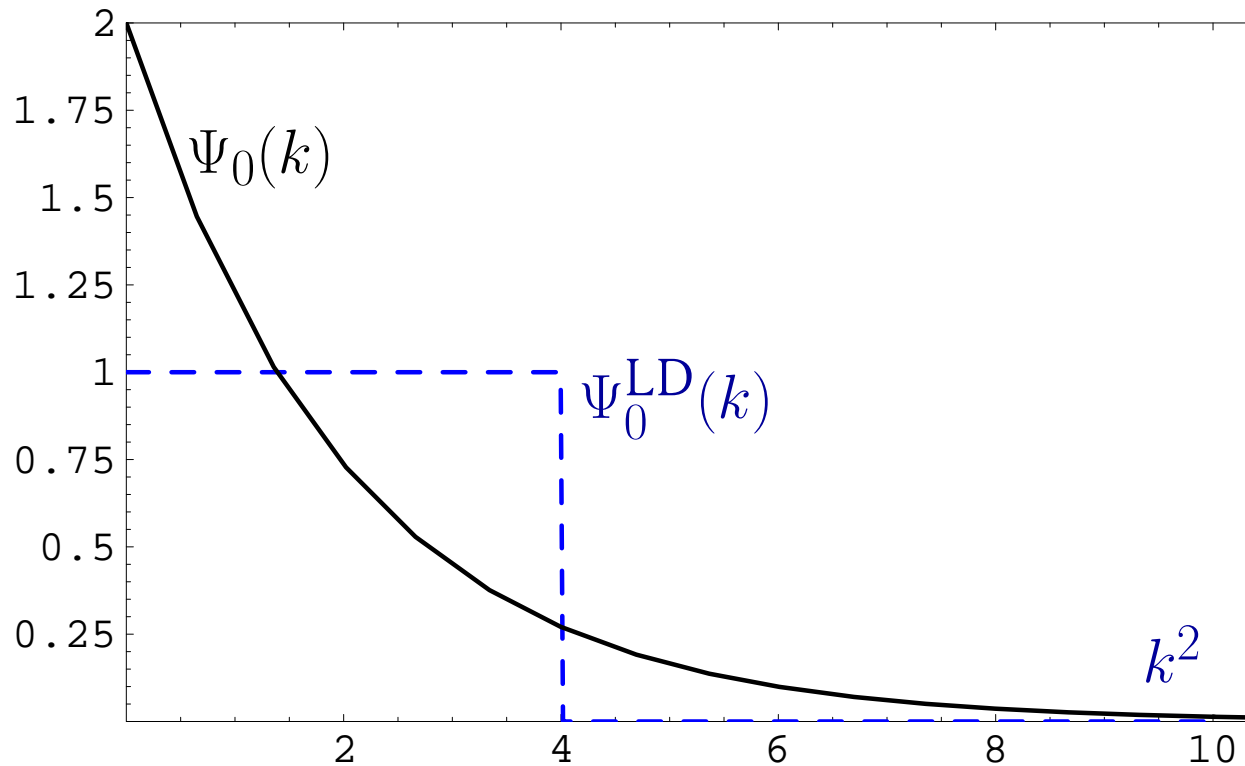
**Равны ли площади под кривыми?**

**Почему нет, если интегралы по  $d^2k$  равны?**

# Локальная дуальность и физика за ней

$$\int d^2k \Psi_0(k) = \int d^2k \Psi_0^{\text{LD}}(k); \quad \int d^2k f(k^2) = \pi \int dk^2 f(k^2).$$

Посмотрим картинку:



**Ответ:**

**Теперь – равны,  
так как сейчас  
абсцисса –  $k^2$ !**

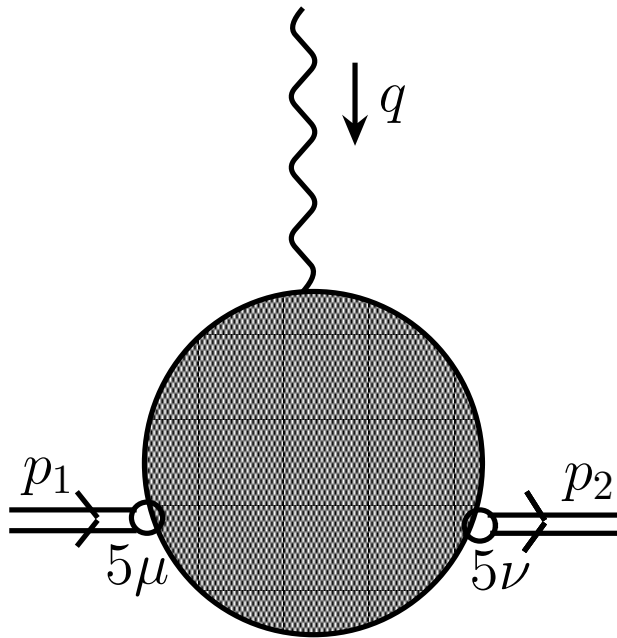
---

*КХД ПС*  
*для*  
*ФФ пиона*

# AAV-коррелятор: пионный вклад

Рассмотрим коррелятор двух аксиальных токов  $j_{5\mu}$ ,  $j_{5\nu}$  и электромагнитного тока  $J^\alpha = e_u \bar{u} \gamma^\mu u + e_d \bar{d} \gamma^\mu d$

$$T_{\mu\nu}^\alpha(p_1, p_2) = \iint e^{-ip_1 x + ip_2 y} \langle 0 | T \{ j_{5\mu}(y) J^\alpha(0) j_{5\nu}^+(x) \} \rangle d^4 x d^4 y .$$



Пионный вклад равен

$$\langle 0 | j_\mu(y) | p_2 \rangle \langle p_2 | J^\alpha(0) | p_1 \rangle \langle p_1 | j_\nu^+(x) | 0 \rangle .$$

Здесь-то и возникает формфактор:  $\langle p_2 | J^\alpha(0) | p_1 \rangle = (p_1 + p_2)^\alpha F(Q^2)$ , а значит пионный вклад есть

$$2f_\pi^2 F(Q^2) P_\mu P^\alpha P_\nu + O(q^\alpha, q_\mu, q_\nu) .$$

# AAV-коррелятор: пионный вклад

---

Нас будет интересовать лоренцева структура  $P_\mu P^\alpha P_\nu$ , где  $P = (p_1 + p_2)/2$ . Для ее выделения будем умножать наш коррелятор на  $n^\mu n_\alpha n^\nu / 2(nP)^3$ , где 4-вектор  $n$  обладает свойствами:  $n^2 = 0$ ,  $np_1 = np_2 = nP$  и  $nq = 0$ :

$$T(p_1^2, p_2^2, q^2) = \frac{n^\mu n_\alpha n^\nu}{2(nP)^3} T_{\alpha\beta}^\mu(p_1, p_2).$$

Определим сразу борелевскую амплитуду  $\Phi(M_1^2, M_2^2, Q^2)$  как двойное преобразование Бореля  $-p_1^2 \rightarrow M_1^2$ ,  $-p_2^2 \rightarrow M_2^2$  для амплитуды  $T(-p_1^2, -p_2^2, q^2 = -Q^2)$ . Для нее двойное дисперсионное представление запишется в виде

$$\Phi(M_1^2, M_2^2, Q^2) = \int_0^\infty \frac{ds_1}{M_1^2} \int_0^\infty \frac{ds_2}{M_2^2} \rho(s_1, s_2, Q^2) e^{-s_1/M_1^2 - s_2/M_2^2}.$$

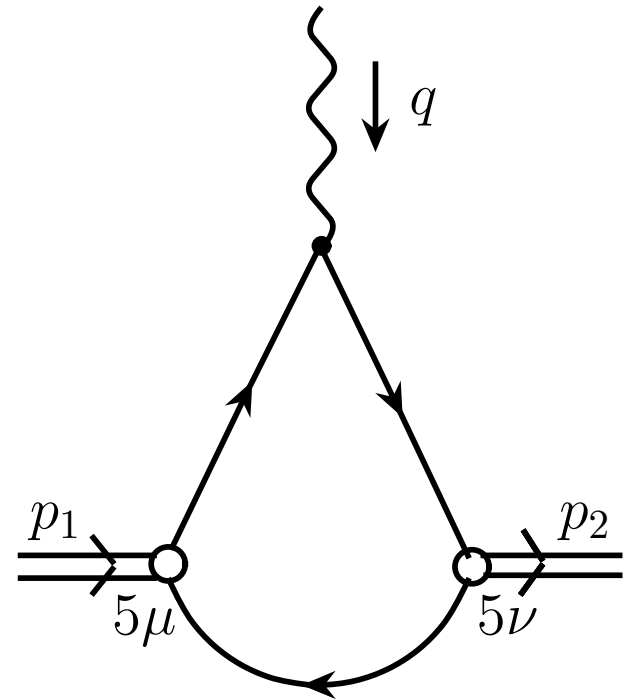
# *AAV-коррелятор: пертурбативный вклад*

Рассмотрим пертурбативный вклад.

$$\Phi^{\text{pert}}(M_1^2, M_2^2, Q^2) = \frac{3}{2\pi^2(M_1^2 + M_2^2)}$$

$$\int_0^1 x \bar{x} \exp \left\{ \frac{-xQ^2}{\bar{x}(M_1^2 + M_2^2)} \right\} dx .$$

А вот и интересная задача:  
найти спектральную плотность  
 $\rho^{\text{pert}}(s_1, s_2, Q^2)$ .



# AAV-коррелятор: пертурбативный вклад

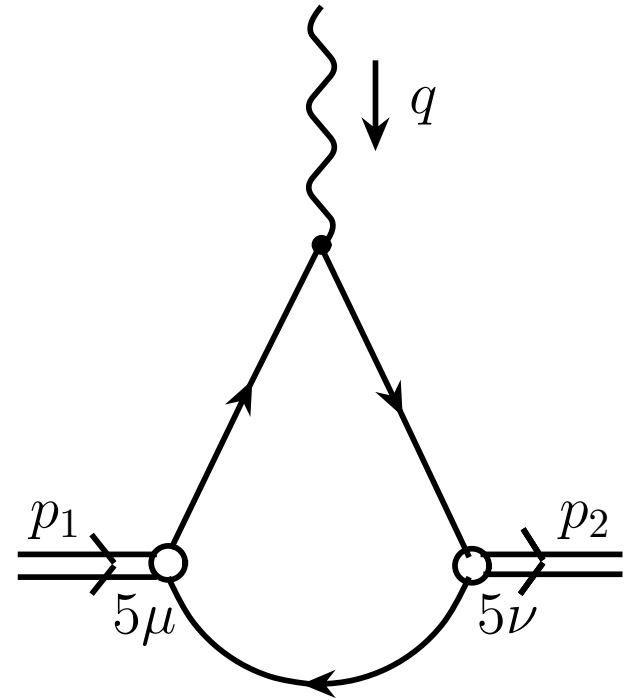
Рассмотрим пертурбативный вклад.

$$\Phi^{\text{pert}}(M_1^2, M_2^2, Q^2) = \frac{3}{2\pi^2(M_1^2 + M_2^2)}$$

$$\int_0^1 x \bar{x} \exp \left\{ \frac{-xQ^2}{\bar{x}(M_1^2 + M_2^2)} \right\} dx .$$

А вот и интересная задача:  
найти спектральную плотность  
 $\rho^{\text{pert}}(s_1, s_2, Q^2)$ . Я выпишу ответ:

$$\rho^{\text{pert}}(s_1, s_2, t) = \frac{3}{4\pi^2} \left[ \frac{d^2}{dt^2} + \frac{d^3}{3dt^3} \right] \frac{1}{\sqrt{(s_1 + s_2 + t)^2 - 4s_1 s_2}} .$$



# AAV-коррелятор: пертурбативный вклад

---

$$\rho^{\text{pert}}(s_1, s_2, t) = \frac{3}{4\pi^2} \left[ \frac{d^2}{dt^2} + \frac{d^3}{3dt^3} \right] \frac{1}{\sqrt{(s_1 + s_2 + t)^2 - 4s_1s_2}}.$$

Свойства спектральной плотности  $\rho^{\text{pert}}(s_1, s_2, Q^2)$ :

- $\rho^{\text{pert}}(s_1, s_2, Q^2 \gg s_i) = \frac{3}{2\pi^2} \left[ \frac{s_1 + s_2}{Q^4} - 4 \frac{s_1^2 + s_2^2 + 4s_1s_2}{Q^6} + \dots \right]$



# AAV-коррелятор: пертурбативный вклад

---

$$\rho^{\text{pert}}(s_1, s_2, t) = \frac{3}{4\pi^2} \left[ \frac{d^2}{dt^2} + \frac{d^3}{3dt^3} \right] \frac{1}{\sqrt{(s_1 + s_2 + t)^2 - 4s_1s_2}}.$$

Свойства спектральной плотности  $\rho^{\text{pert}}(s_1, s_2, Q^2)$ :

- $\rho^{\text{pert}}(s_1, s_2, Q^2 \gg s_i) = \frac{3}{2\pi^2} \left[ \frac{s_1 + s_2}{Q^4} - 4 \frac{s_1^2 + s_2^2 + 4s_1s_2}{Q^6} + \dots \right]$

- $\rho^{\text{pert}}(s_1, s_2, Q^2 \rightarrow 0) = \frac{1}{4\pi^2} \delta(s_1 - s_2) + \frac{Q^2}{4\pi^2} (s_1 + s_2) \delta''(s_1 - s_2) + \dots$

Сейчас мы займемся получением  $\rho^{\text{pert}}(s_1, s_2, Q^2 = 0)$  из тождеств Уорда для AAV-коррелятора.

# Тождества Уорда для $AAV$ -коррелятора

---

Пусть

$$T_{\mu\nu}^{\alpha}(x, z, y) = \langle 0 | T \{ j_{5\mu}(y) J^{\alpha}(z) j_{5\nu}^{+}(x) \} \rangle .$$

Дифференцируем  $T_{\mu,\nu}^{\alpha}(x, z, y)$  по  $z^{\alpha}$

$$\partial_{z^{\alpha}} T_{\mu,\nu}^{\alpha}(x, z, y) = e_{\pi} \langle 0 | T \left[ j_{5\mu}^{+}(x) j_{5\nu}(y) \right] | 0 \rangle [\delta(z - x) - \delta(z - y)]$$

где  $e_{\pi} \equiv e_u - e_d = 1$ . Это — тождества Уорда (ТУ) в  $x$ -представлении.

# Тождества Уорда для $AAV$ -коррелятора

Пусть

$$T_{\mu\nu}^{\alpha}(x, z, y) = \langle 0 | T \{ j_{5\mu}(y) J^{\alpha}(z) j_{5\nu}^{+}(x) \} \rangle .$$

Дифференцируем  $T_{\mu,\nu}^{\alpha}(x, z, y)$  по  $z^{\alpha}$

$$\partial_{z^{\alpha}} T_{\mu,\nu}^{\alpha}(x, z, y) = e_{\pi} \langle 0 | T \left[ j_{5\mu}^{+}(x) j_{5\nu}(y) \right] | 0 \rangle [\delta(z - x) - \delta(z - y)]$$

где  $e_{\pi} \equiv e_u - e_d = 1$ . Это — тождества Уорда (ТУ) в  $x$ -представлении. В  $p$ -представлении

$$q_{\alpha} T_{\mu,\nu}^{\alpha}(p_1, p_2, q) = [\Pi_{5\mu,5\nu}(p_2) - \Pi_{5\mu,5\nu}(p_1)] ,$$

где  $\Pi_{5\mu,5\nu}(p) \equiv i \int dx \exp(-ipx) \langle 0 | T \left[ j_{5\mu}^{+}(x) j_{5\nu}(0) \right] | 0 \rangle$ .

# Тождества Уорда для $AAV$ -коррелятора

---

Вводя лоренцевы структуры для корреляторов

$$\Pi_{5\mu,5\nu}(p) = g_{\mu\nu}\Pi_1(p^2) + p_\mu p_\nu \Pi(p^2)$$

$$T_{\mu,\nu}^\alpha(p_1, p_2, q) = 2 P_\mu P_\nu P^\alpha T(p_1^2, p_2^2, q^2) + P_\mu P_\nu q^\alpha T_0(p_1^2, p_2^2, q^2) + \dots$$

получаем тождества Уорда–Такахаши

$$(p_2^2 - p_1^2) T(p_1^2, p_2^2, Q^2) + Q^2 T_0(p_1^2, p_2^2, Q^2) = [\Pi(p_2^2) - \Pi(p_1^2)]$$

# Тождества Уорда для $AAV$ -коррелятора

Вводя лоренцевы структуры для корреляторов

$$\Pi_{5\mu,5\nu}(p) = g_{\mu\nu}\Pi_1(p^2) + p_\mu p_\nu \Pi(p^2)$$

$$T_{\mu,\nu}^\alpha(p_1, p_2, q) = 2 P_\mu P_\nu P^\alpha T(p_1^2, p_2^2, q^2) + P_\mu P_\nu q^\alpha T_0(p_1^2, p_2^2, q^2) + \dots$$

получаем тождества Уорда–Такахаша

$$(p_2^2 - p_1^2) T(p_1^2, p_2^2, Q^2) + Q^2 T_0(p_1^2, p_2^2, Q^2) = [\Pi(p_2^2) - \Pi(p_1^2)]$$

При  $Q^2 = 0$  они сводятся к

$$(p_2^2 - p_1^2) T(p_1^2, p_2^2, 0) = [\Pi(p_2^2) - \Pi(p_1^2)].$$

что дает связь спектральных плотностей 3- и 2-точечных корреляторов.

# Тождества Уорда для $AAV$ -коррелятора

Вводя лоренцевы структуры для корреляторов

$$\Pi_{5\mu,5\nu}(p) = g_{\mu\nu}\Pi_1(p^2) + p_\mu p_\nu \Pi(p^2)$$

$$T_{\mu,\nu}^\alpha(p_1, p_2, q) = 2 P_\mu P_\nu P^\alpha T(p_1^2, p_2^2, q^2) + P_\mu P_\nu q^\alpha T_0(p_1^2, p_2^2, q^2) + \dots$$

получаем тождества Уорда–Такахаша

$$(p_2^2 - p_1^2) T(p_1^2, p_2^2, Q^2) + Q^2 T_0(p_1^2, p_2^2, Q^2) = [\Pi(p_2^2) - \Pi(p_1^2)]$$

При  $Q^2 = 0$  они дают связь спектральных плотностей:

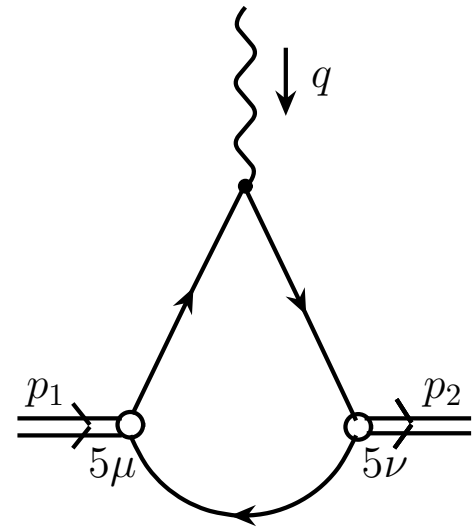
$$\rho_3(s_1, s_2, 0) = \delta(s_1 - s_2) \rho_2(s_1) = \frac{1}{4\pi^2} \delta(s_1 - s_2).$$

(back to pQCD)

# *AAV-коррелятор: операторное разложение*

Пертурбативный вклад:  $\Phi^{\text{pert}}(M^2, Q^2) =$

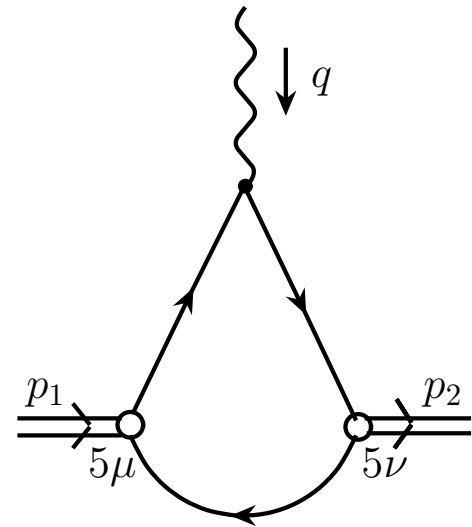
$$\frac{1}{M^4} \int_0^{s_0} \int_0^{s_0} \rho^{\text{pert}}(s_1, s_2, Q^2) e^{-(s_1+s_2)/M^2} ds_1 ds_2$$



# *AAV-коррелятор: операторное разложение*

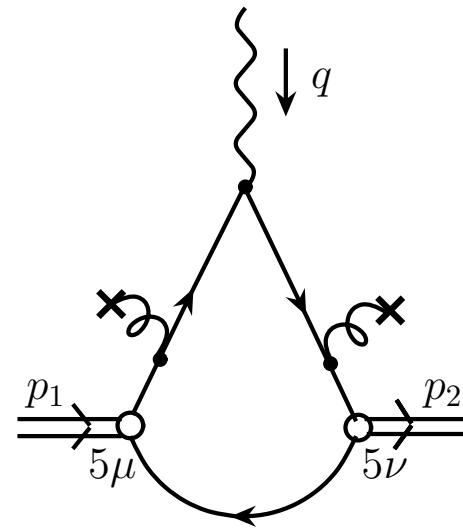
Пертурбативный вклад:  $\Phi^{\text{pert}}(M^2, Q^2) =$

$$\frac{1}{M^4} \int_0^{s_0} \int_0^{s_0} \rho^{\text{pert}}(s_1, s_2, Q^2) e^{-(s_1+s_2)/M^2} ds_1 ds_2$$



Вклад глюонного конденсата:

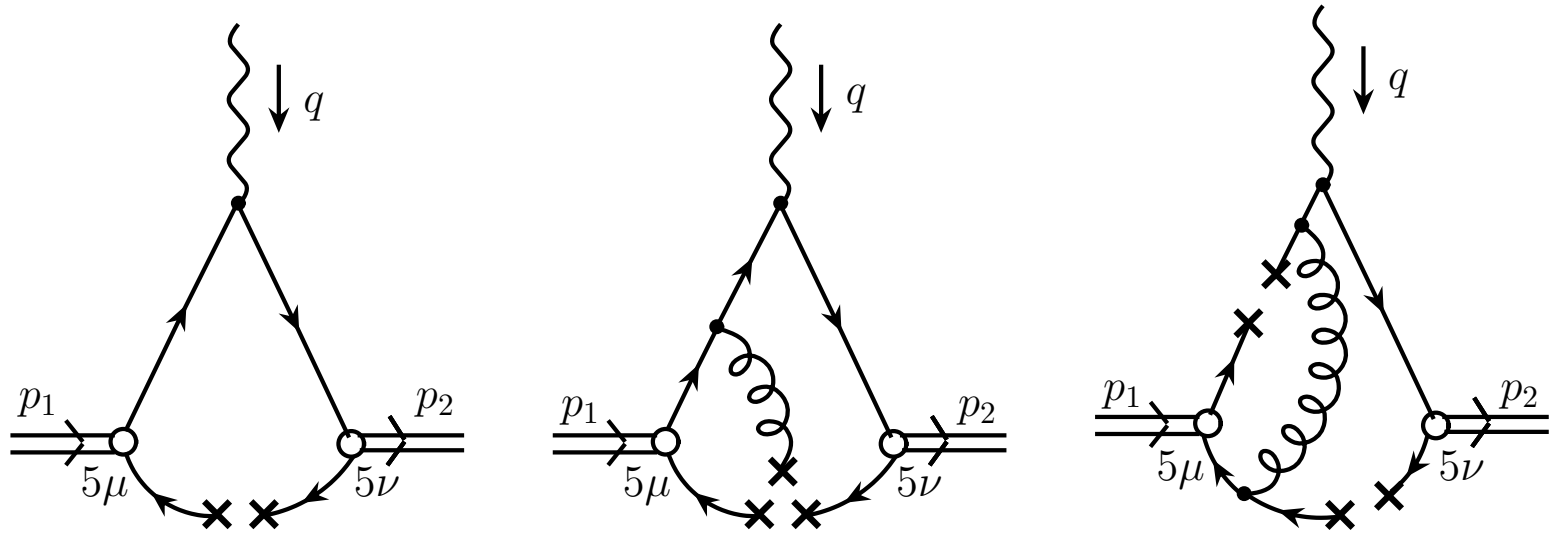
$$\Phi^{GG}(M^2, Q^2) = \frac{1}{12\pi M^6} \left\langle \frac{\alpha_s}{\pi} GG \right\rangle$$





# *AAV-коррелятор: операторное разложение*

Вклады кварковых конденсатов:



$$\Phi^{\bar{q}q}(M^2, Q^2) = \frac{208 \pi \alpha_s \langle \bar{q}q \rangle^2}{81 M^8} \left[ 1 + \frac{2 Q^2}{13 M^2} \right]$$

# КХД правила сумм для $\Phi\Phi$ пиона

---

$$f_\pi^2 F_\pi(Q^2) = \int_0^{s_0} ds_1 \int_0^{s_0} ds_2 \exp\left(-\frac{s_1 + s_2}{M^2}\right) \rho^{\text{pert}}(s_1, s_2, Q^2) \\ + \frac{\alpha_s \langle GG \rangle}{12\pi M^2} + \frac{16 \pi \alpha_s \langle \bar{q}q \rangle^2}{81 M^4} \left[ 13 + 2 \frac{Q^2}{M^2} \right]$$

Это правило сумм хорошо работает в области  $0.5 \text{ ГэВ}^2 \lesssim Q^2 \lesssim 2 \text{ ГэВ}^2$ . И понятно почему: операторное разложение строилось в предположении  $Q^2 \sim P_1^2 \sim P_2^2 \gg \Lambda_{\text{QCD}}^2$ .

# КХД правила сумм для $\Phi\Phi$ пиона

---

$$f_\pi^2 F_\pi(Q^2) = \int_0^{s_0} ds_1 \int_0^{s_0} ds_2 \exp\left(-\frac{s_1 + s_2}{M^2}\right) \rho^{\text{pert}}(s_1, s_2, Q^2) \\ + \frac{\alpha_s \langle GG \rangle}{12\pi M^2} + \frac{16 \pi \alpha_s \langle \bar{q}q \rangle^2}{81 M^4} \left[ 13 + 2 \frac{Q^2}{M^2} \right]$$

Это правило сумм хорошо работает в области  $0.5 \text{ ГэВ}^2 \lesssim Q^2 \lesssim 2 \text{ ГэВ}^2$ . И понятно почему: операторное разложение строилось в предположении  $Q^2 \sim P_1^2 \sim P_2^2 \gg \Lambda_{\text{QCD}}^2$ . В области малых  $Q^2$  мы должны использовать тождества Уорда и строить операторное разложение в согласии с ним. В области больших  $Q^2$  операторное разложение взрывается из-за растущих вкладов в коэффициенты.

---

*Локальная дуальность*  
*для*  
*ФФ пиона*

# Локальная дуальность для $F_\pi(Q^2)$

---

В подходе локальной дуальности получим следующее соотношение

$$F_{\pi;LD}(Q^2) = \int_0^{s_{LD}} ds_1 \int_0^{s_{LD}} ds_2 \rho^{\text{pert}}(s_1, s_2, Q^2)$$

и  $s_{LD} \simeq 0.7 \text{ ГэВ}^2$ .

# Локальная дуальность для $F_\pi(Q^2)$

В подходе локальной дуальности получим следующее соотношение

$$F_{\pi;LD}(Q^2) = \int_0^{s_{LD}} ds_1 \int_0^{s_{LD}} ds_2 \rho^{\text{pert}}(s_1, s_2, Q^2)$$

и  $s_{LD} \simeq 0.7 \text{ ГэВ}^2$ . Интегралы явно берутся и мы имеем простую формулу

$$F_{\pi;LD}(Q^2) = 1 - \frac{1 + 6 s_{LD}/Q^2}{[1 + 4 s_{LD}/Q^2]^{3/2}}$$

Эта формула замечательна тем, что в ней благодаря тождеству Уорда автоматически имеется  $F_{\pi;LD}(0) = 1$ .

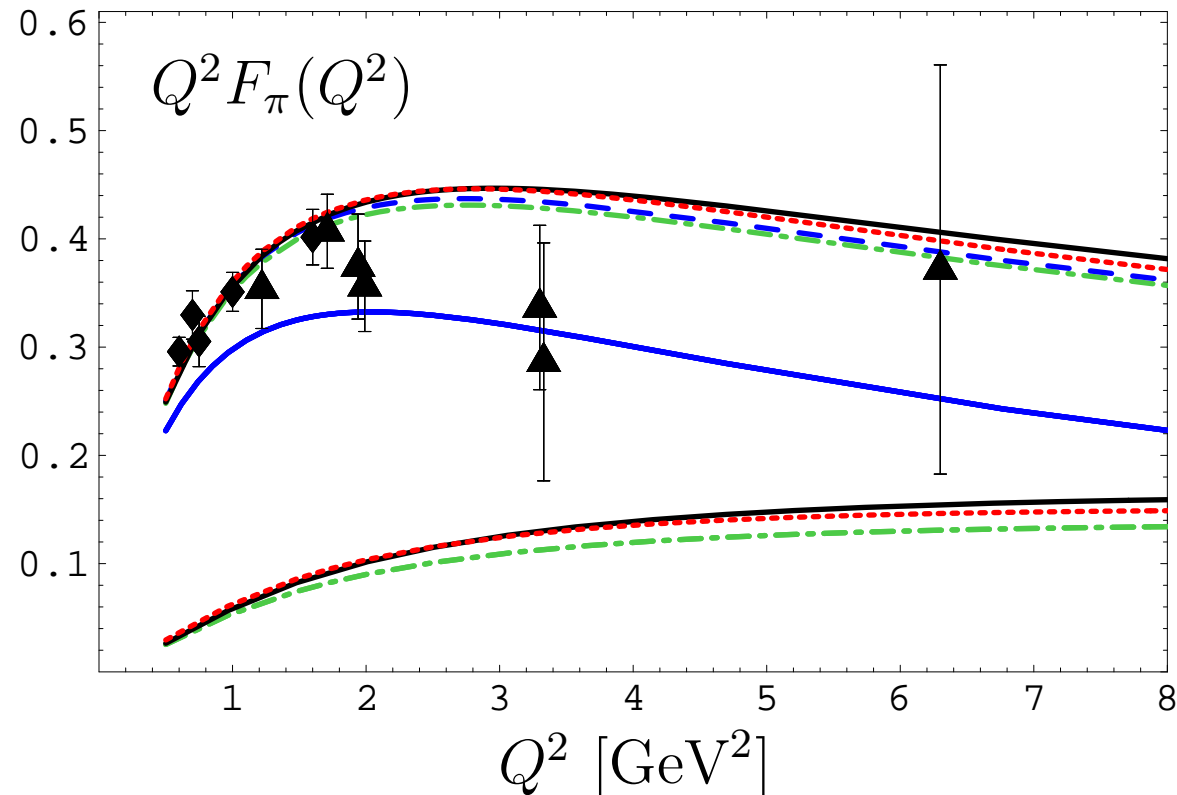
# Жесткий КХД-вклад в $\Phi\Phi$ пиона

Обмен жестким глюоном хорошо описывается формулой

$$\frac{1}{f_\pi^2} \int_0^{s_0} ds_1 \int_0^{s_0} ds_2 \Delta\rho^{\text{pert}}(s_1, s_2, q^2) \approx \frac{\alpha_s}{\pi} \frac{1}{1 + Q^2/2s_0}.$$

Получаем такую картинку: даже на  $Q^2 = 8 \text{ ГэВ}^2$  мягкий вклад все еще большого жесткого глюонного обмена!

Хотя мягкий  $\sim 1/Q^4$ , а жесткий  $\sim 1/Q^2$ .

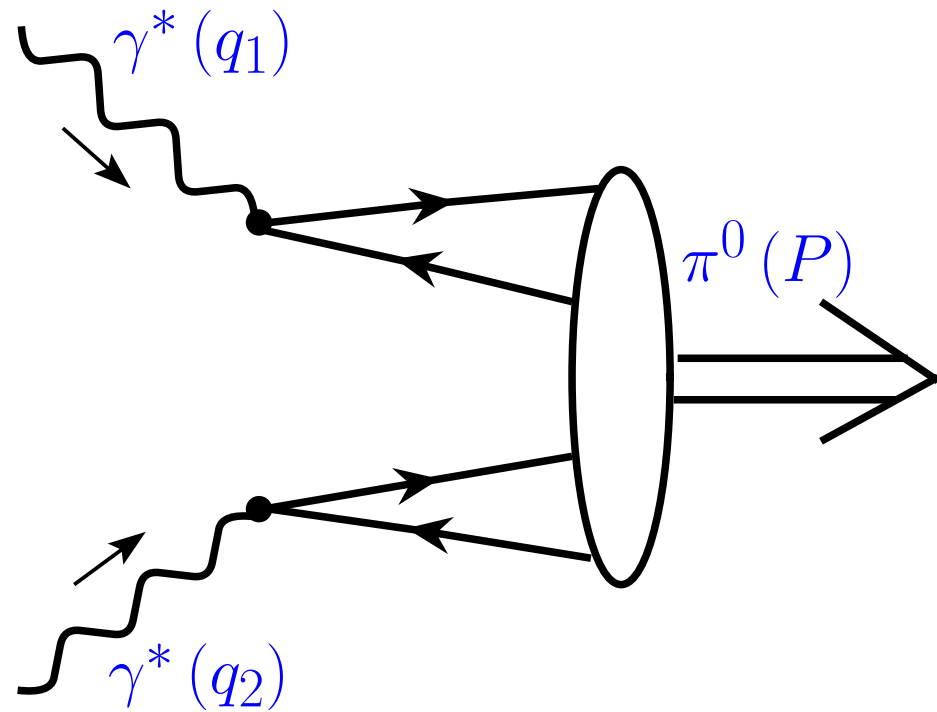


---

*Факторизация  
и амплитуда распределения  
пиона в КХД ТВ*



# Факторизация для ФФ $\gamma^*\gamma^* \rightarrow \pi^0$ -перехода



Виртуальные фотоны  $\gamma^*$  “цепляются” за электромагнитные токи,  $J_\mu = e_d \bar{d} \gamma_\mu d + e_u \bar{u} \gamma_\mu u$ , кварков в пионе  $\pi^0 = \frac{\bar{u}u - \bar{d}d}{\sqrt{2}}$  (forward). В жестком процессе виртуальности фотонов  $-q_1^2, -q_2^2 \gg m_\rho^2$ .

Кинематика процесса

$$P = q_1 + q_2; \quad q = (q_1 - q_2)/2; \quad Q_i^2 \equiv -q_i^2$$

$$P^2 = m_\pi^2 \approx 0; \quad Q^2 \equiv -q^2 = (Q_1^2 + Q_2^2)/2 \gg m_\rho^2$$

# Амплитуда ( $T$ ) и формфактор ( $F$ )

$$\begin{aligned} T(q_1, \varepsilon_1; q_2, \varepsilon_2) &= \int dz^D e^{-iq_1 z} \langle 0 | \varepsilon_1^\mu J_\mu(z) \varepsilon_2^\nu J_\nu(0) | \pi(P) \rangle \\ &\equiv -i \varepsilon_{\mu\nu\rho\sigma} \varepsilon_1^\mu \varepsilon_2^\nu P^\rho q^\sigma F_{\gamma^* \gamma^* \rightarrow \pi^0}(q_1^2, q_2^2) \end{aligned}$$

Вычисляем в представлении взаимодействия:

$$\begin{aligned} T_{\mu\nu}(q_1; q_2) &= \int dz^D e^{-iq_1 z} \langle 0 | J_\mu(z) J_\nu(0) \hat{S} | \pi(P) \rangle \\ &= \dots \sum_f e_f^2 \bar{\psi}_f(z) \overbrace{\gamma_\mu \psi_f(z) \bar{\psi}_f(0) \gamma_\nu \psi_f(0)} \dots \\ &= \dots \sum_f e_f^2 \bar{\psi}_f(z) \left[ \gamma_\mu i \hat{S}(z) \gamma_\nu \right] \psi_f(0) \dots \end{aligned}$$

Тождество ( $\varepsilon_{0123} = +1$ ):

$$\gamma_\mu \hat{z} \gamma_\nu = S_{\mu z \nu \alpha} \gamma^\alpha + i \varepsilon_{\mu z \nu \alpha} \gamma^\alpha \gamma_5$$

# Появление пионной амплитуды $\varphi_\pi(x)$

---

$$T_{\mu\nu}(q_1; q_2) \sim \int dz^D e^{-iq_1 z} \left( \frac{z^\beta}{z^4} \right) \sum_f e_f^2 \underbrace{\langle 0 | \bar{\psi}_f(z) \gamma_\alpha \gamma_5 \psi_f(0) | \pi(P) \rangle}$$

Появился новый объект —  $\pi AP$

# Появление пионной амплитуды $\varphi_\pi(x)$

$$T_{\mu\nu}(q_1; q_2) \sim \int dz^D e^{-iq_1 z} \left( \frac{z^\beta}{z^4} \right) \sum_f e_f^2 \underbrace{\langle 0 | \bar{\psi}_f(z) \gamma_\alpha \gamma_5 \psi_f(0) | \pi(P) \rangle}$$

Появился новый объект —  $\pi AP$ . Этот объект содержит в себе всю непертурбативную информацию о пионе: все, что мы не можем вычислить в теории возмущений, убрано в него. Параметризация (back):

$$\begin{aligned} \langle 0 | \bar{d}(z) \gamma_\alpha \gamma_5 d(0) | \pi(P) \rangle &= \frac{1}{\sqrt{2}} \langle 0 | \bar{d}(z) \gamma_\alpha \gamma_5 u(0) | \pi(P) \rangle \\ &= \frac{if_\pi P_\alpha}{\sqrt{2}} \int_0^1 dx e^{ix(zP)} \left[ \varphi_\pi^{\text{Tw-2}}(x, \mu^2) + z^2 g_1^{\text{Tw-4}}(x, \mu^2) \right] \end{aligned}$$

Вклады **ведущего** и **высшего** твистов разделены.

# ТВИСТЫ И СИНГУЛЯРНОСТИ НА СВЕТОВОМ КОНУСЕ

Чем важно разделение сингулярностей по  $z^2$ ?

$$T_{\mu\nu}(q_1; q_2) \sim \varepsilon_{\mu\nu\alpha\beta} P^\alpha \int_0^1 dx \int dz^D e^{-i(q_1 - xP)z} \left[ \frac{z^\beta}{z^4} \varphi_\pi^{\text{Tw-2}}(x, \mu^2) + \frac{z^\beta}{z^2} g_1^{\text{Tw-4}}(x, \mu^2) \right]$$

Тем, что мы можем сразу определить ведущий вклад и его асимптотику при больших  $Q^2$ . Действительно ( $D = 4 - 2\varepsilon$ ):

$$\frac{z^\beta}{z^4} \xrightarrow{\text{Фурье}} \frac{(q_1 - xP)^\beta}{(q_1 - xP)^2}; \quad \frac{z^\beta}{z^2} \xrightarrow{\text{Фурье}} 4 \frac{(q_1 - xP)^\beta}{(q_1 - xP)^4}$$

Кусок с  $q_1^\beta$  даст структуру формфактора  $\varepsilon_{\mu\nu\alpha\beta} P^\alpha q_1^\beta$ . А что будет с куском  $\sim xP$  из числителя?

# Преобразование Фурье в $D$ измерениях

---

Для  $D = 4 - 2\varepsilon$ :

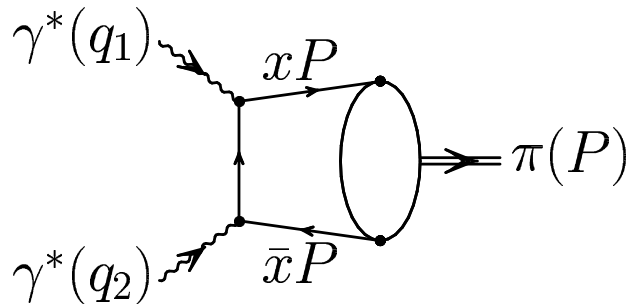
$$i \int \frac{e^{-iqz} dz^D}{(-z^2 + i0)^n} = \frac{\Gamma(D/2 - n)}{\Gamma(n)} \frac{2^{D-2n} \pi^{D/2}}{(-q^2 - i0)^{D/2-n}}$$
$$\frac{-i}{(2\pi)^D} \int \frac{e^{iqz} dq^D}{(-q^2 - i0)^n} = \frac{\Gamma(D/2 - n)}{\Gamma(n)} \frac{2^{-2n} \pi^{-D/2}}{(-z^2 + i0)^{D/2-n}}$$

**Задача для любознательных:** показать, что оба преобразования согласуются друг с другом.

# Факторизация для $\gamma^* \gamma^* \rightarrow \pi^0$ -формфактора

Результат для формфактора перехода  $\gamma^* \gamma^* \rightarrow \pi$ :

$$(q_1 - xP)^2 = \bar{x}Q_1^2 + xQ_2^2$$



$$F_{\gamma^* \gamma^* \rightarrow \pi^0}(Q_1^2, Q_2^2) =$$

$-q_{1,2}^2 = Q_{1,2}^2 \geq 1 \text{ GeV}^2$

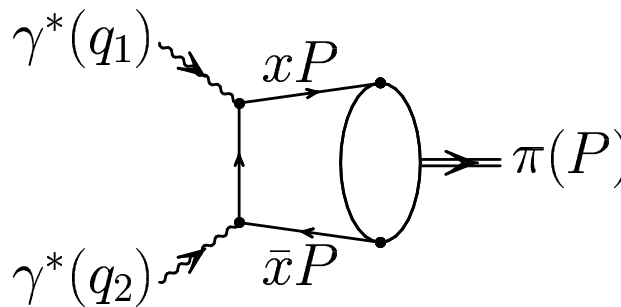
$$= \frac{\sqrt{2}}{3} f_\pi \int_0^1 \frac{\varphi_\pi(x; \mu^2)}{Q_1^2 \bar{x} + Q_2^2 x} dx + \mathcal{O}\left(\frac{\delta_{\text{Tw-4}}^2}{Q^4}\right)$$

Здесь  $\delta_{\text{Tw-4}}^2$  – масштаб вклада твиста 4

# Факторизация: общая схема

Формфактор перехода  $\gamma^* \gamma^* \rightarrow \pi$ :

разделение **малых** и **больших** расстояний


$$F_{\gamma^* \gamma^* \rightarrow \pi^0}(Q_1^2, Q_2^2) =$$
$$-q_{1,2}^2 = Q_{1,2}^2 \geq 1 \text{ GeV}^2$$

$$= C(q_1^2, q_2^2; \mu^2; x) \otimes \varphi_\pi(x; \mu^2) + O\left(\frac{\delta_{\text{Tw-4}}^2}{Q^4}\right)$$

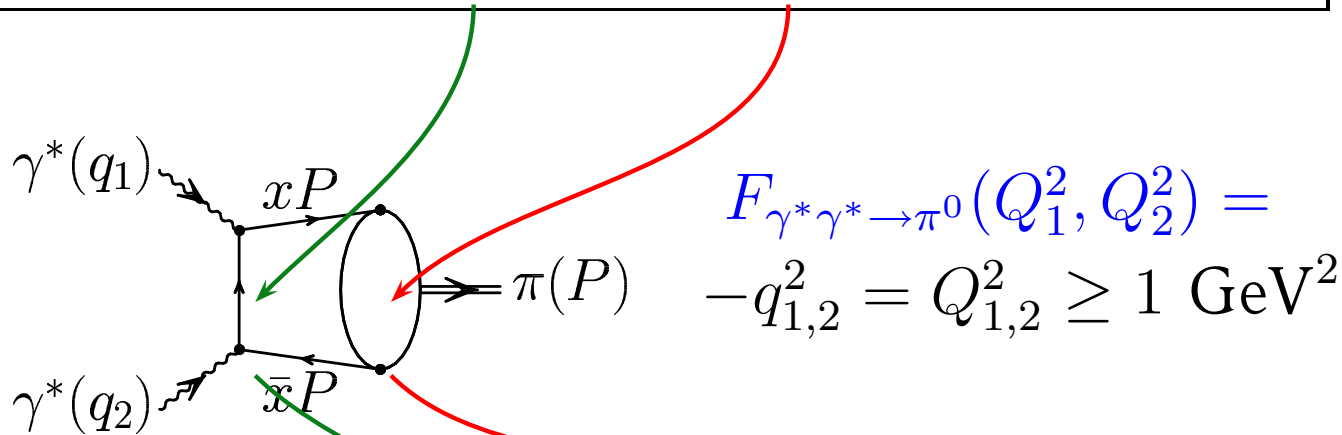
Здесь  $\delta_{\text{Tw-4}}^2$  – масштаб вклада твиста 4



# Факторизация: общая схема

Формфактор перехода  $\gamma^* \gamma^* \rightarrow \pi$ :

разделение **малых** и **больших** расстояний



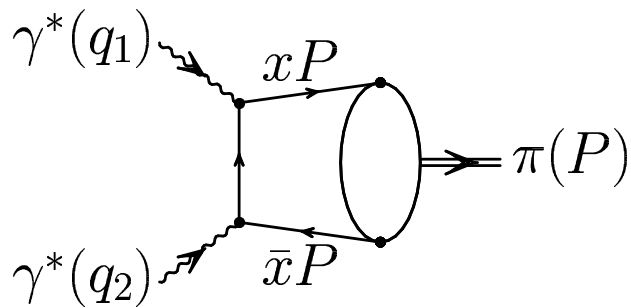
$$= \boxed{C(q_1^2, q_2^2; \mu^2; x)} \otimes \boxed{\varphi_\pi(x; \mu^2)} + O\left(\frac{\delta_{\text{Tw-4}}^2}{Q^4}\right)$$

Здесь  $\delta_{\text{Tw-4}}^2$  – масштаб вклада твиста 4

# Факторизация: общая схема

Формфактор перехода  $\gamma^* \gamma^* \rightarrow \pi$ :

$\varphi_\pi(x)$  появляется в виде свертки



$$F_{\gamma^* \gamma^* \rightarrow \pi^0}(Q_1^2, Q_2^2) =$$
$$-q_{1,2}^2 = Q_{1,2}^2 \geq 1 \text{ GeV}^2$$

$$\simeq \int_0^1 \frac{\varphi_\pi(x; \mu^2)}{Q_1^2 \bar{x} + Q_2^2 x} dx + O\left(\frac{\delta_{\text{TW-4}}^2}{Q^4}\right)$$

# Факторизация: общие свойства $\pi AP$

Итак, что же такое  $\pi AP$   $\varphi_\pi(x, \mu^2)$  ведущего твиста 2?

- она описывает матричный элемент нелокального аксиального тока на световом конусе

$$\langle 0 | [\bar{d}(z) \gamma_\alpha \gamma_5 E(z, 0) u(0)]_{\mu^2} | \pi(P) \rangle \Big|_{z^2=0} =$$
$$i f_\pi P_\alpha \int_0^1 dx e^{ix(zP)} \varphi_\pi^{\text{Tw-2}}(x, \mu^2)$$

# Факторизация: общие свойства $\pi AP$

Итак, что же такое  $\pi AP$   $\varphi_\pi(x, \mu^2)$  ведущего твиста 2?

- она описывает матричный элемент нелокального аксиального тока на световом конусе

$$\langle 0 | [\bar{d}(z) \gamma_\alpha \gamma_5 E(z, 0) u(0)]_{\mu^2} | \pi(P) \rangle \Big|_{z^2=0} = \\ i f_\pi P_\alpha \int_0^1 dx e^{ix(zP)} \varphi_\pi^{\text{Tw-2}}(x, \mu^2)$$

- она калибровочно-инвариантна за счет струны Фока–Швингера:

$$E(z, 0) = \mathcal{P} e^{ig \int_0^z A_\mu(\tau) d\tau^\mu}$$

# Факторизация: общие свойства $\pi AP$

Итак, что же такое  $\pi AP$   $\varphi_\pi(x, \mu^2)$  ведущего твиста 2?

- она описывает матричный элемент нелокального аксиального тока на световом конусе

$$\langle 0 | [\bar{d}(z) \gamma_\alpha \gamma_5 E(z, 0) u(0)]_{\mu^2} | \pi(P) \rangle \Big|_{z^2=0} =$$
$$i f_\pi P_\alpha \int_0^1 dx e^{ix(zP)} \varphi_\pi^{\text{Tw-2}}(x, \mu^2)$$

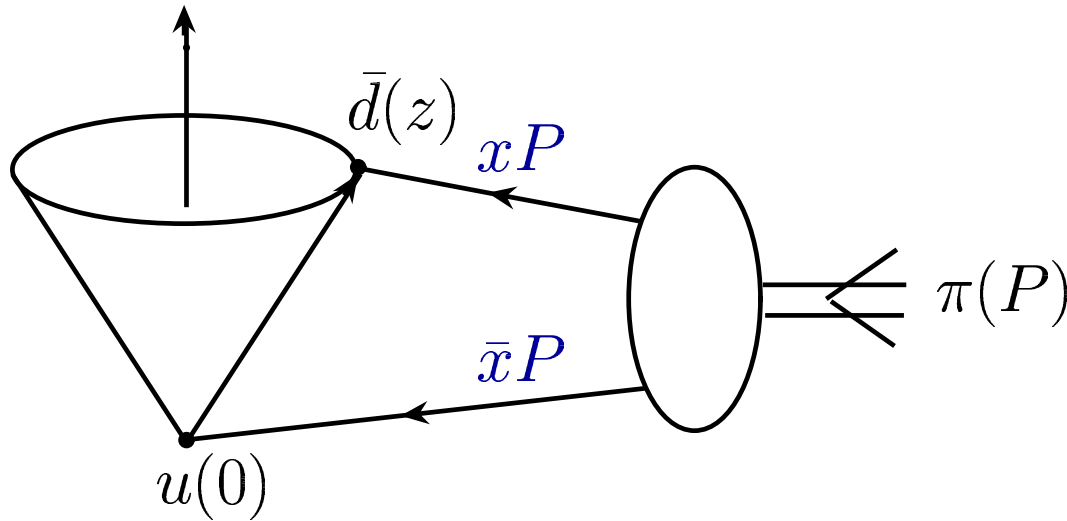
- она калибровочно-инвариантна за счет струны Фока–Швингера:

$$E(z, 0) = \mathcal{P} e^{ig \int_0^z A_\mu(\tau) d\tau^\mu}$$

В твисте 4 имеется 6 различных  $\pi AP$ , четыре имеют значение для анализа  $F_{\gamma^* \gamma^* \rightarrow \pi^0}(Q_1^2, Q_2^2)$ .

# Факторизация: физический смысл $\pi AP$

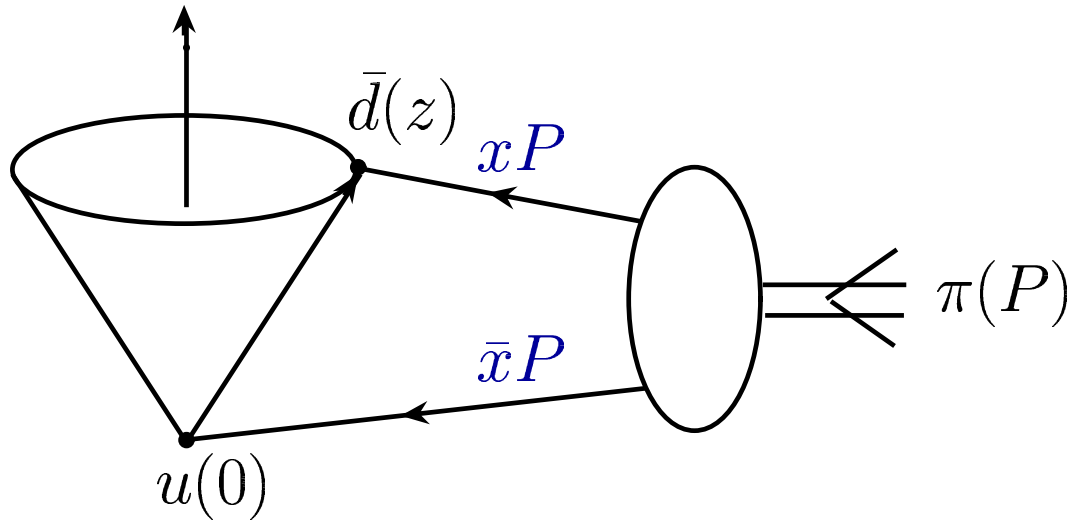
$\varphi_\pi(x; \mu^2)$  – амплитуда перехода  $\pi \rightarrow u + d$



- нормировка на 1
- симметрична по замене  $x \rightleftharpoons \bar{x}$   
(здесь  $\bar{x} \equiv 1 - x$ )

# Факторизация: физический смысл $\pi AP$

$\varphi_\pi(x; \mu^2)$  – амплитуда перехода  $\pi \rightarrow u + d$



- нормировка на 1
- симметрична по замене  $x \leftrightarrow \bar{x}$   
(здесь  $\bar{x} \equiv 1 - x$ )

- мультипликативно перенормируема

**[Ефремов–Радюшкин; Бродский–Лепаж, (ЕРБЛ)]**

- асимптотическая  $\pi AP$  в 1-петлевом приближении:

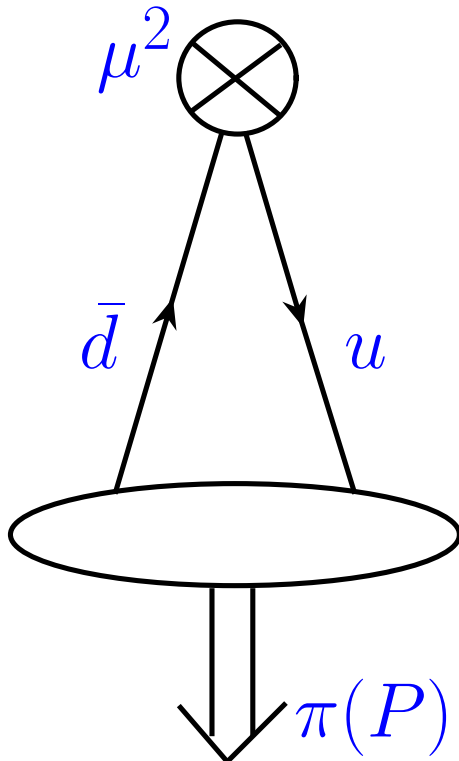
$$\varphi_\pi(x; \mu^2 \rightarrow \infty) = \varphi^{As}(x) = 6x(1 - x)$$

# Факторизация: эволюция $\pi AP$ в пКХД

$\varphi_\pi(x; \mu^2)$  зависит от масштаба  $\mu^2$ . Эта зависимость полностью определяется в пКХД уравнением ЕРБЛ:

$$\frac{d \varphi_\pi(x; \mu^2)}{d \ln \mu^2} = V(x, u; \alpha_s(\mu^2)) \otimes_u \varphi_\pi(u; \mu^2)$$

$$V(x, u; \alpha_s) = \left(\frac{\alpha_s}{4\pi}\right) V_0(x, u) + \left(\frac{\alpha_s}{4\pi}\right)^2 V_1(x, u) + \dots$$



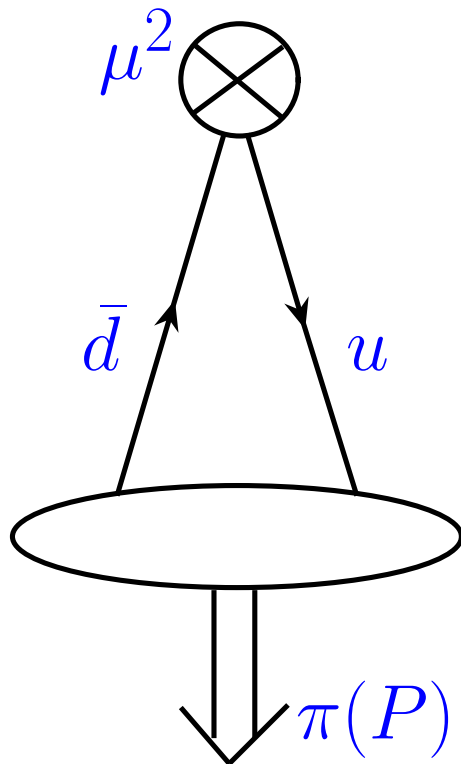


# Факторизация: эволюция $\pi AR$ в пКХД

$\varphi_\pi(x; \mu^2)$  зависит от масштаба  $\mu^2$ . Эта зависимость полностью определяется в пКХД уравнением ЕРБЛ:

$$\frac{d \varphi_\pi(x; \mu^2)}{d \ln \mu^2} = V(x, u; \alpha_s(\mu^2)) \otimes_u \varphi_\pi(u; \mu^2)$$

$$V(x, u; \alpha_s) = \left(\frac{\alpha_s}{4\pi}\right) V_0(x, u) + \left(\frac{\alpha_s}{4\pi}\right)^2 V_1(x, u) + \dots$$



**Решение** ЕРБЛ:  $\varphi_\pi(x; \mu^2) = \varphi^{As}(x) \times$   
 $\times \left[ 1 + a_2(\mu^2) C_2^{3/2}(\xi) + a_4(\mu^2) C_4^{3/2}(\xi) + \dots \right]_{\xi \equiv 2x-1}$

где  $C_n^{3/2}(\xi)$  – полиномы Гегенбауера (собственные функции 1-петлевого ядра ЕРБЛ-эволюции).

# Факторизация: эволюция $\pi AP$ в ПКХД

При этом вся  $\mu^2$ -зависимость переходит в коэффициенты:

$$\varphi_\pi(x; \mu^2) \Leftrightarrow \{a_2(\mu^2), a_4(\mu^2), \dots\},$$

причем в 1-петлевом приближении

$$a_n^{1\text{-loop}}(\mu^2) = a_n(\mu_0^2) \left[ \frac{\alpha_s(\mu^2)}{\alpha_s(\mu_0^2)} \right]^{\gamma_0(n)/(2b_0)},$$

где  $\gamma_0(n)$  – аномальные размерности, определяемые собственными значениями 1-петлевого ядра эволюции  $V_0$ , а  $b_0$  – первый коэффициент разложения бета-функции КХД:

$$\beta(\alpha_s(Q^2)) \equiv \frac{d\alpha_s(\mu^2)}{d\ln(\mu^2)} = -\frac{\alpha_s^2(\mu^2)}{4\pi} \left[ b_0 + b_1 \frac{\alpha_s(\mu^2)}{4\pi} + \dots \right].$$

---

# Pion DA in QCD Sum Rules with Non-Local Condensates

# Non-Local Condensates in QCD SR

---

- Illustration of

**NLC-model:**  $\langle \bar{q}(0)q(z) \rangle = \langle \bar{q}(0)q(0) \rangle e^{-|z^2|\lambda_q^2/8}$

# Non-Local Condensates in QCD SR

---

- Illustration of  
**NLC-model**:  $\langle \bar{q}(0)q(z) \rangle = \langle \bar{q}(0)q(0) \rangle e^{-|z^2|\lambda_q^2/8}$
- A **single scale** parameter  $\lambda_q^2 = \langle k^2 \rangle$  characterizing the average momentum of quarks in QCD vacuum:

$$\lambda_q^2 = \begin{cases} 0.4 \pm 0.1 \text{ GeV}^2 & [ \text{QCD SRs, 1987} ] \\ 0.5 \pm 0.05 \text{ GeV}^2 & [ \text{QCD SRs, 1991} ] \\ \approx 0.4 - 0.5 \text{ GeV}^2 & [ \text{Lattice, 1998-2002} ] \end{cases}$$

# Non-Local Condensates in QCD SR

---

- Illustration of  
**NLC-model**:  $\langle \bar{q}(0)q(z) \rangle = \langle \bar{q}(0)q(0) \rangle e^{-|z^2|\lambda_q^2/8}$
- A **single scale** parameter  $\lambda_q^2 = \langle k^2 \rangle$  characterizing the average momentum of quarks in QCD vacuum:

$$\lambda_q^2 = \begin{cases} 0.4 \pm 0.1 \text{ GeV}^2 & [ \text{QCD SRs, 1987} ] \\ 0.5 \pm 0.05 \text{ GeV}^2 & [ \text{QCD SRs, 1991} ] \\ \approx 0.4 - 0.5 \text{ GeV}^2 & [ \text{Lattice, 1998-2002} ] \end{cases}$$

- Correlation length  $\lambda_q^{-1} \simeq 0.3 \text{ Fm} \sim \rho\text{-meson size}$

# Non-Local Condensates in QCD SR

---

- Illustration of  
**NLC-model**:  $\langle \bar{q}(0)q(z) \rangle = \langle \bar{q}(0)q(0) \rangle e^{-|z^2|\lambda_q^2/8}$
- A **single scale** parameter  $\lambda_q^2 = \langle k^2 \rangle$  characterizing the average momentum of quarks in QCD vacuum:

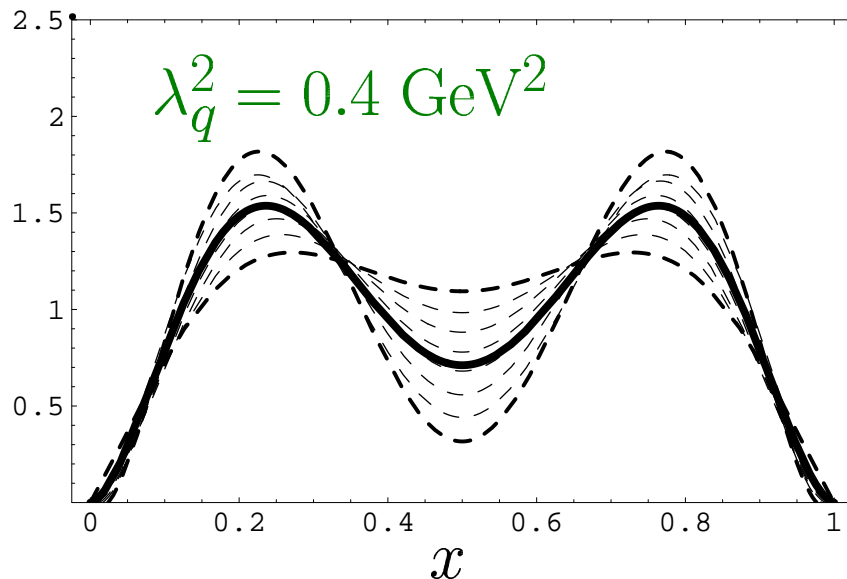
$$\lambda_q^2 = \begin{cases} 0.4 \pm 0.1 \text{ GeV}^2 & [ \text{QCD SRs, 1987} ] \\ 0.5 \pm 0.05 \text{ GeV}^2 & [ \text{QCD SRs, 1991} ] \\ \approx 0.4 - 0.5 \text{ GeV}^2 & [ \text{Lattice, 1998-2002} ] \end{cases}$$

- Correlation length  $\lambda_q^{-1} \simeq 0.3 \text{ Fm} \sim \rho\text{-meson size}$
- Possible to include second ( $\Lambda \simeq 450 \text{ MeV}$ ) scale with  
 $\langle \bar{q}(0)q(z) \rangle \Big|_{|z| \gg 1 \text{ Fm}} \sim \langle \bar{q}(0)q(0) \rangle e^{-|z|\Lambda}$  (not included here)

# NLC SRs for Pion DA

produce **bunch** of self-consistent 2-parameter models  $\varphi_\pi(x)$  at  $\mu^2 \simeq 1 \text{ GeV}^2$ :

$$\varphi_\pi(x) = \varphi^{\text{as}}(x) \left[ 1 + a_2 C_2^{3/2}(2x-1) + a_4 C_4^{3/2}(2x-1) \right]$$

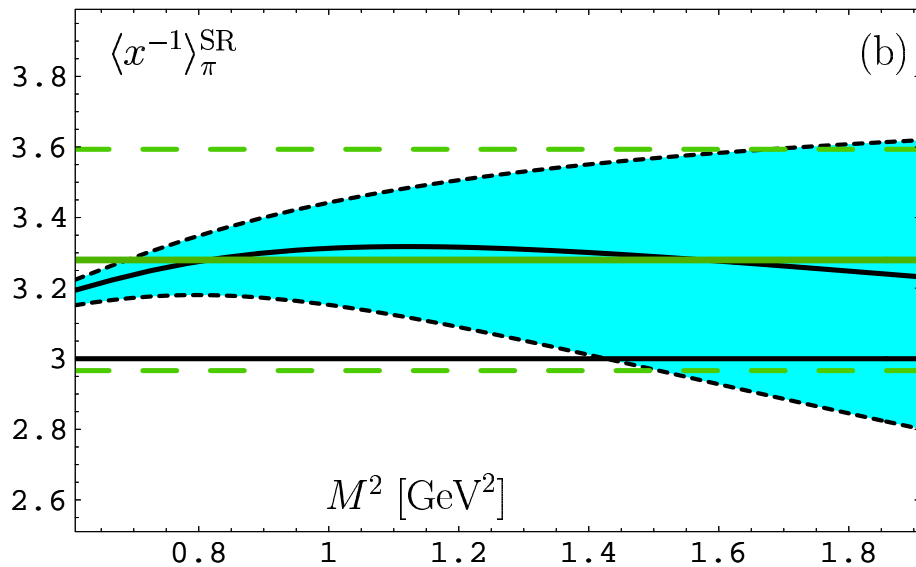


$a_2$ b.f.	=	+0.188
$a_4$ b.f.	=	-0.130
$\chi^2$	$\approx$	0.001
$\langle x^{-1} \rangle^{\text{SR}}$	=	3.30(30)



# NLC SR estimate of $\langle x^{-1} \rangle_{\pi}^{SR}$

BMS [PLB (2001)]: at  $\mu^2 \simeq 1 \text{ GeV}^2$



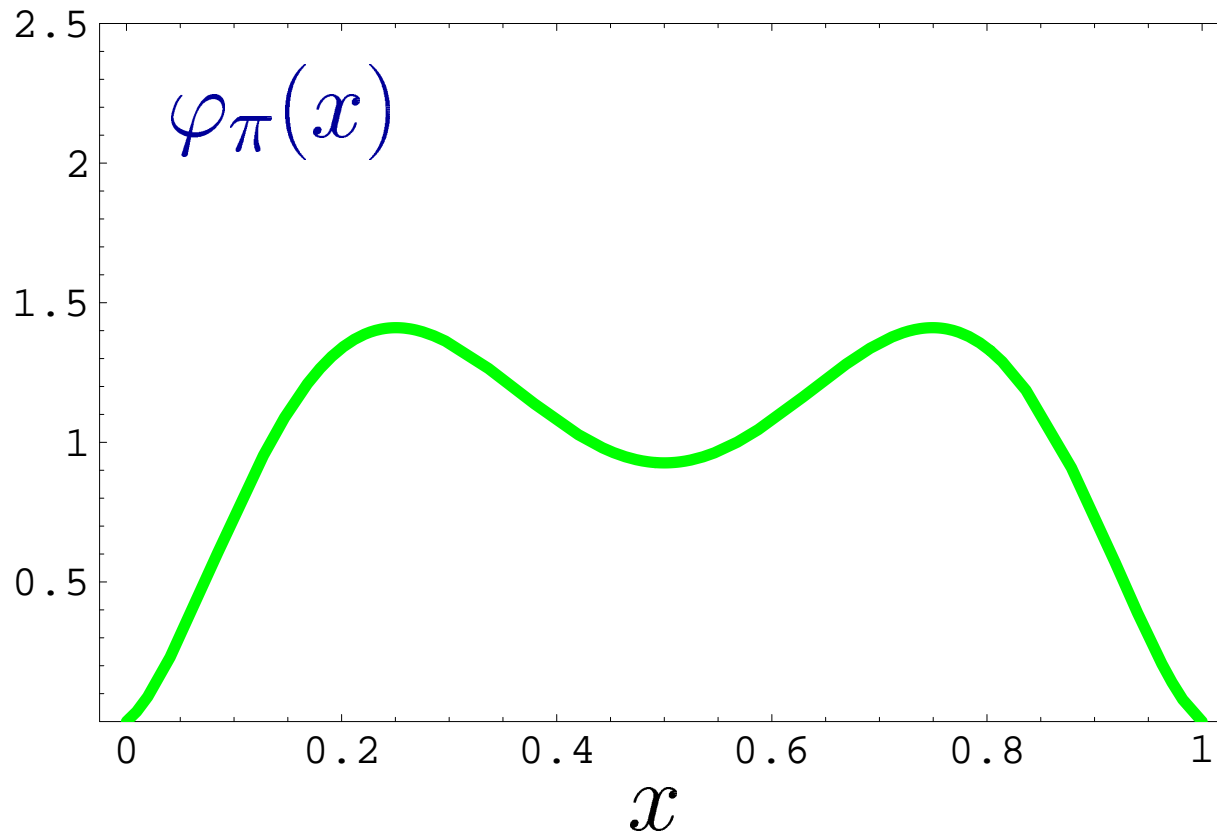
$$\lambda_q^2 = 0.4 \text{ GeV}^2,$$

$$\langle x^{-1} \rangle_{\pi}^{SR} = 3.3 \pm 0.3,$$

$$\frac{1}{3} \langle x^{-1} \rangle = 1 + a_2 + a_4 + \dots$$

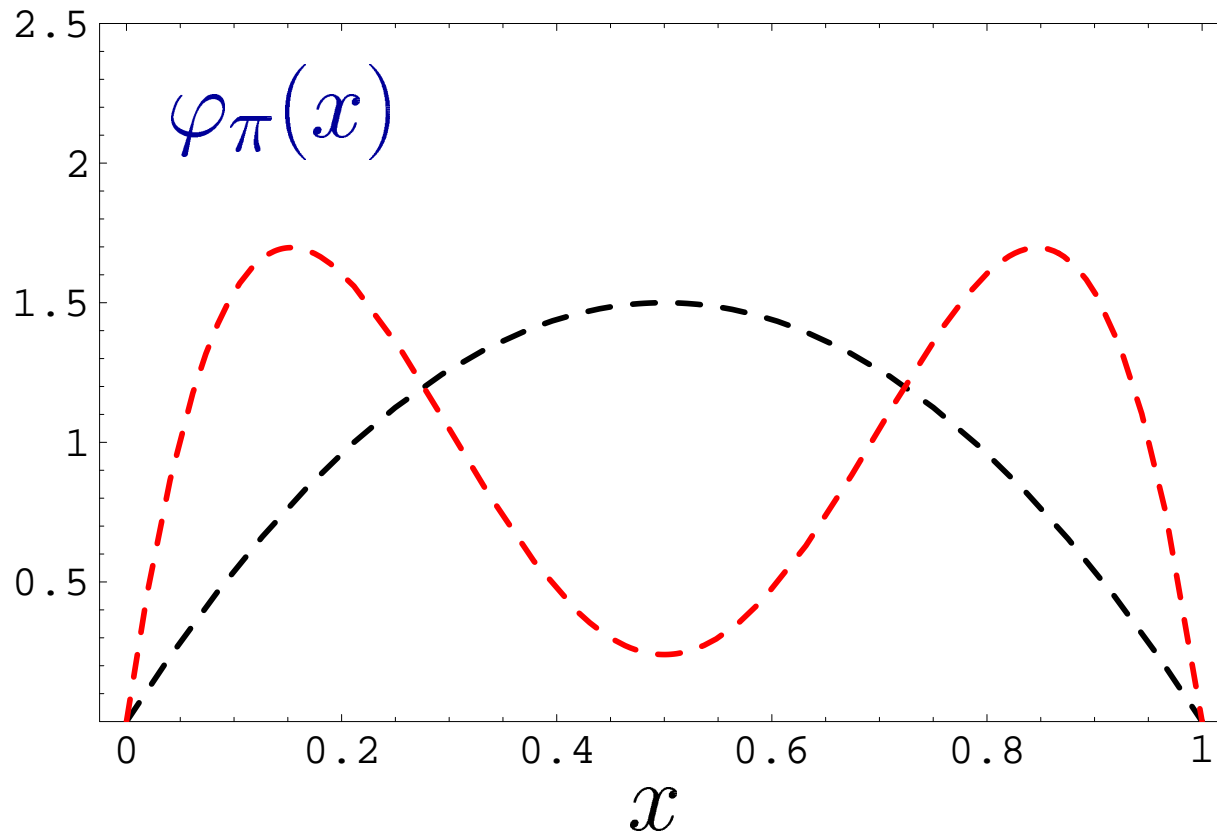
**The moment**  $\langle x^{-1} \rangle_{\pi}^{SR}$  could be determined only in NLC SRs because end-point singularities absent

# BMS vs CZ distribution amplitude



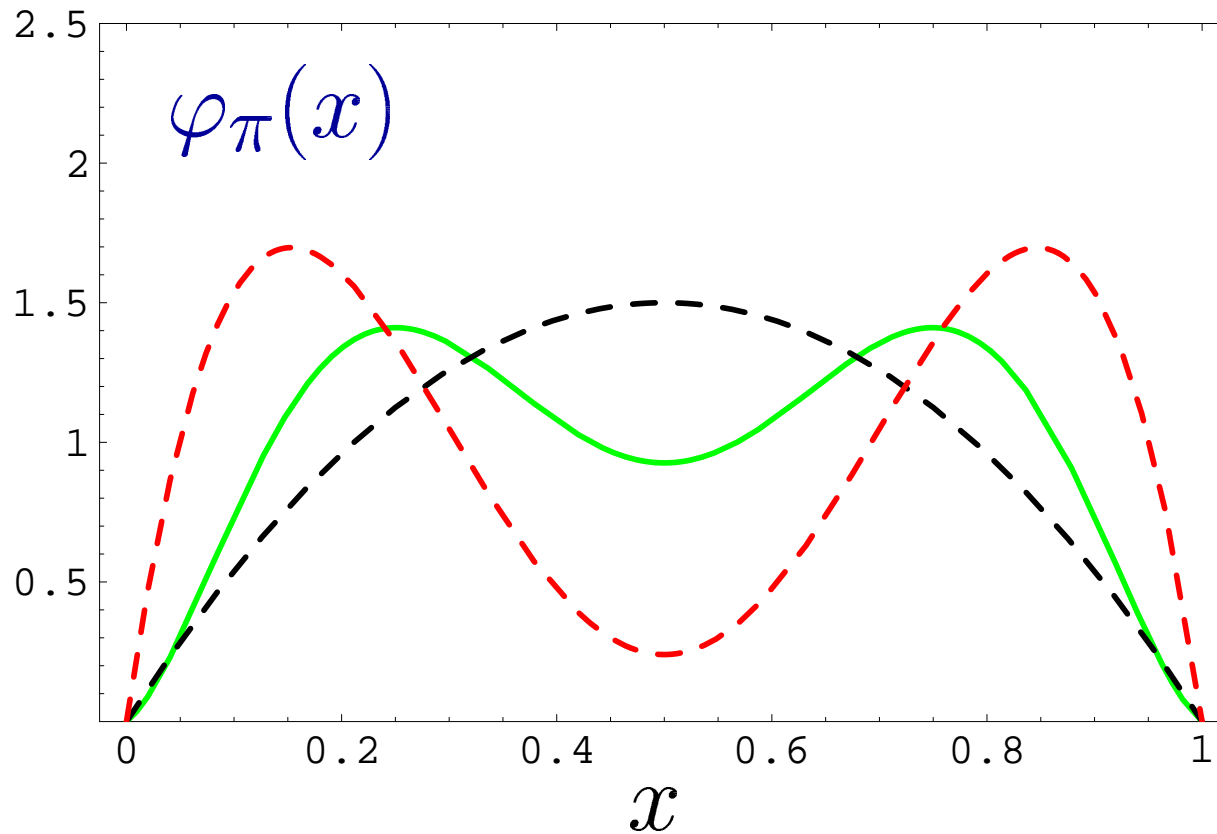
**BMS DA is end-point suppressed!**




# BMS vs CZ distribution amplitude



**CZ DA: end-point enhancement**

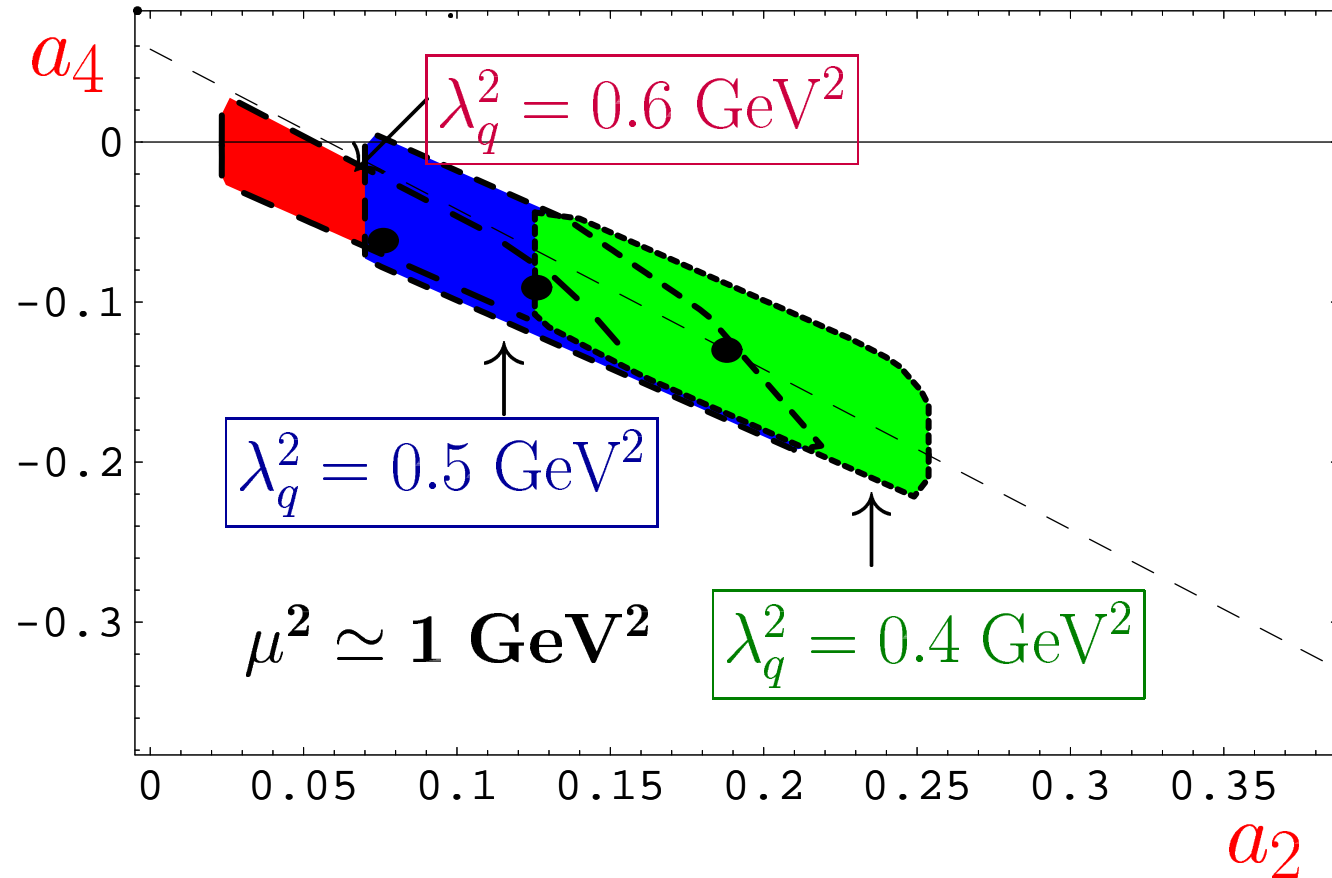
# BMS vs CZ distribution amplitude



Curves	DAs
	<b>CZ</b>
	<b>BMS</b>
	Asymp.

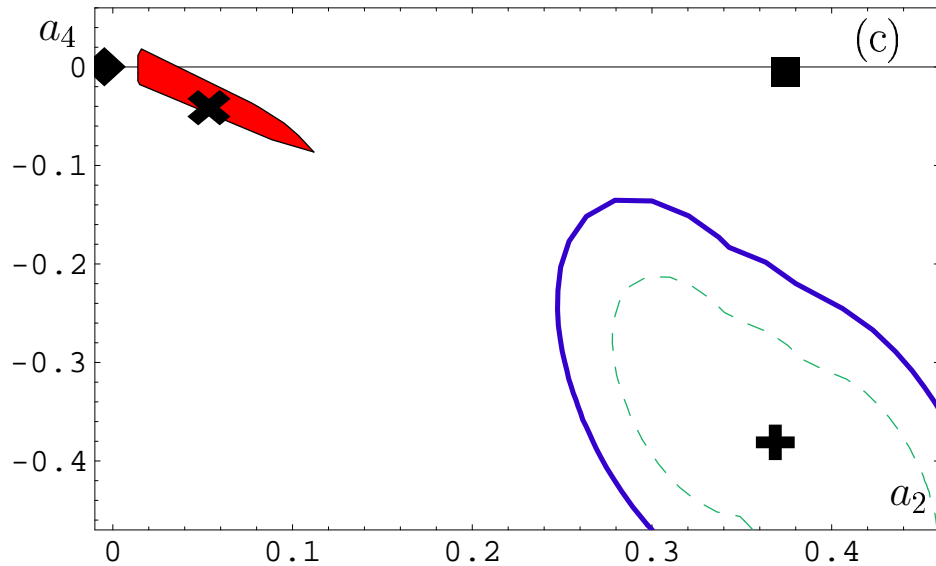
**BMS bunch is 2-humped but end-point suppressed!**

# NLC SR Constraints on $a_2, a_4$ of Pion DA



# NLC SR Results vs NLO CLEO Constraints

[BMS, PRD 67 (2003) 074012]

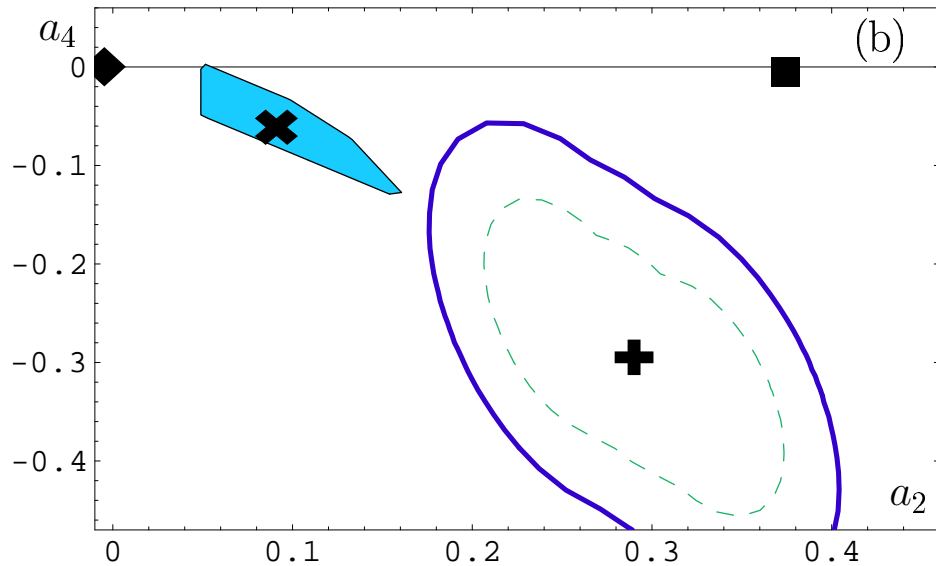


**■**  $\Leftrightarrow \lambda_q^2 = 0.6 \text{ GeV}^2,$   
 $\delta_{\text{TW-4}}^2 = 0.28(3) \text{ GeV}^2$

**No agreement with CLEO data for  $\lambda_q^2 = 0.6 \text{ GeV}^2$**

# NLC SR Results vs NLO CLEO Constraints

[BMS, PRD 67 (2003) 074012]

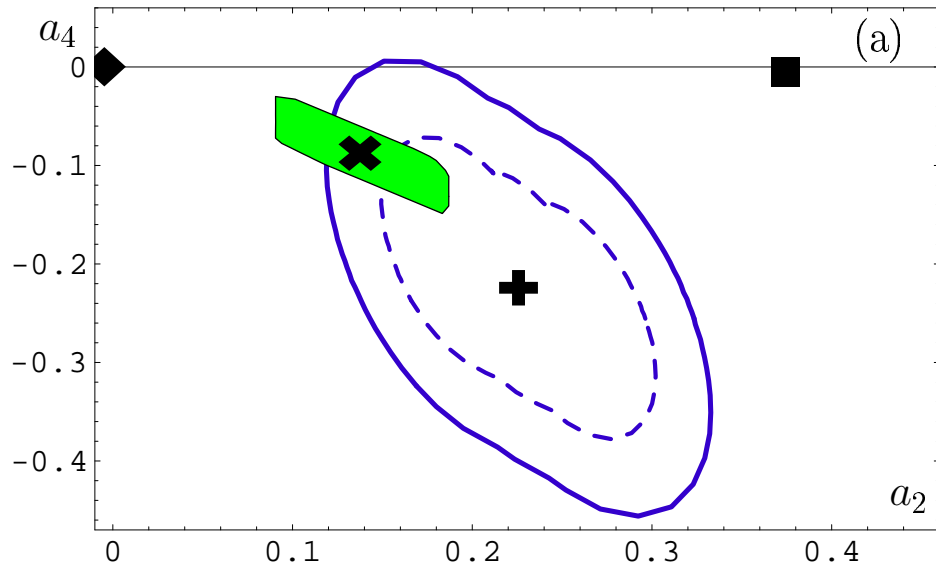


$$\text{blue region} \Leftrightarrow \lambda_q^2 = 0.5 \text{ GeV}^2, \\ \delta_{T_{W-4}}^2 = 0.23(2) \text{ GeV}^2$$

Bad agreement with CLEO data for  $\lambda_q^2 = 0.5 \text{ GeV}^2$

# NLC SR Results vs NLO CLEO Constraints

[BMS, PRD 67 (2003) 074012]



$$\blacksquare \Leftrightarrow \lambda_q^2 = 0.4 \text{ GeV}^2, \\ \delta_{\text{TW-4}}^2 = 0.19(2) \text{ GeV}^2$$

Reasonable agreement with CLEO data for  
 $\lambda_q^2 = 0.4 \text{ GeV}^2$



# CONCLUSIONS

---

- **QCD SR** method with **NLC** for pion DA gives us admissible sets (**bunches**) of DAs for each  $\lambda_q$  value.

# CONCLUSIONS

---

- **QCD SR** method with **NLC** for pion DA gives us admissible sets (**bunches**) of DAs for each  $\lambda_q$  value.
- NLO LCSR method produces **new constraints** on pion DA parameters ( **$a_2, a_4$** ) in conjunction with CLEO data.

# CONCLUSIONS

---

- **QCD SR** method with **NLC** for pion DA gives us admissible sets (**bunches**) of DAs for each  $\lambda_q$  value.
- NLO LCSR method produces **new constraints** on pion DA parameters ( **$a_2, a_4$** ) in conjunction with CLEO data.
- Comparing **NLC SRs** with new CLEO **constraints** **allows to fix** value of QCD vacuum nonlocality  $\lambda_q^2 = 0.4 \text{ GeV}^2$ .